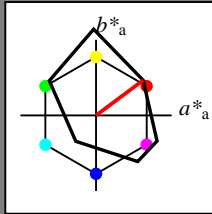


Eingabe: Farbmetrisches Drucker-Reflektiv-System FRS06

für Buntton $h^* = lab^*h = 37/360 = 0.102$
 lab^*ich und lab^*nch

D65: Buntton R
LCH*Ma: 33 78 37
olv*Ma: 1.0 0.0 0.0

Dreiecks-Helligkeit t^*



%Umfang
 $u^*_{rel} = 115$
%Regularität
 $g^*_{H,rel} = 28$
 $g^*_{C,rel} = 38$

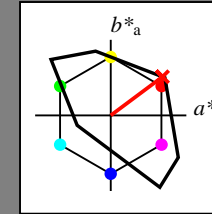
FRS06; adaptierte CIELAB-Daten					
	$L^*=L^*_a$	a^*_a	b^*_a	$C^*_{ab,a}$	$h^*_{ab,a}$
RMa	32.57	62.32	46.49	77.75	37
JMa	82.73	-3.16	113.99	114.03	92
GMa	39.43	-61.79	45.84	76.95	143
G50BMa	47.86	-26.79	-34.24	43.49	232
BMa	10.16	55.12	-61.03	82.24	312
B50RMa	34.5	80.68	-33.92	87.52	337
NMa	6.25	0.0	0.0	0.0	0
WMa	91.97	0.0	0.0	0.0	0
RCIE	39.92	59.8	31.05	67.38	27
JCIE	81.26	-2.52	76.25	76.29	92
GCIE	52.23	-41.56	17.14	44.96	158
BCIE	30.57	2.63	-43.77	43.86	273

Ausgabe: Farbmetrisches Fernseh-Licht-System TLS18

für Buntton $h^* = lab^*h = 37/360 = 0.102$
 lab^*ich und lab^*nch

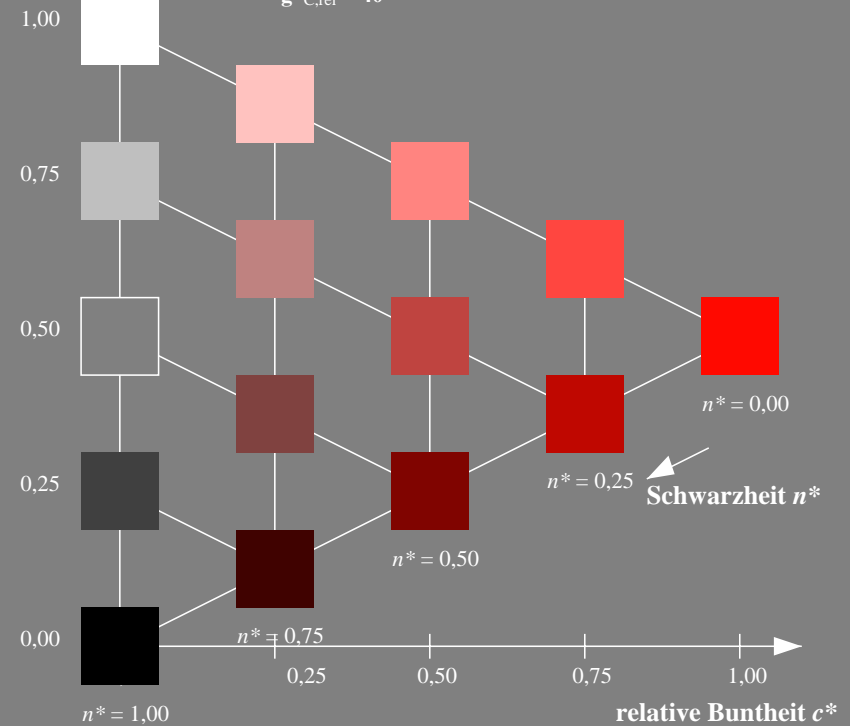
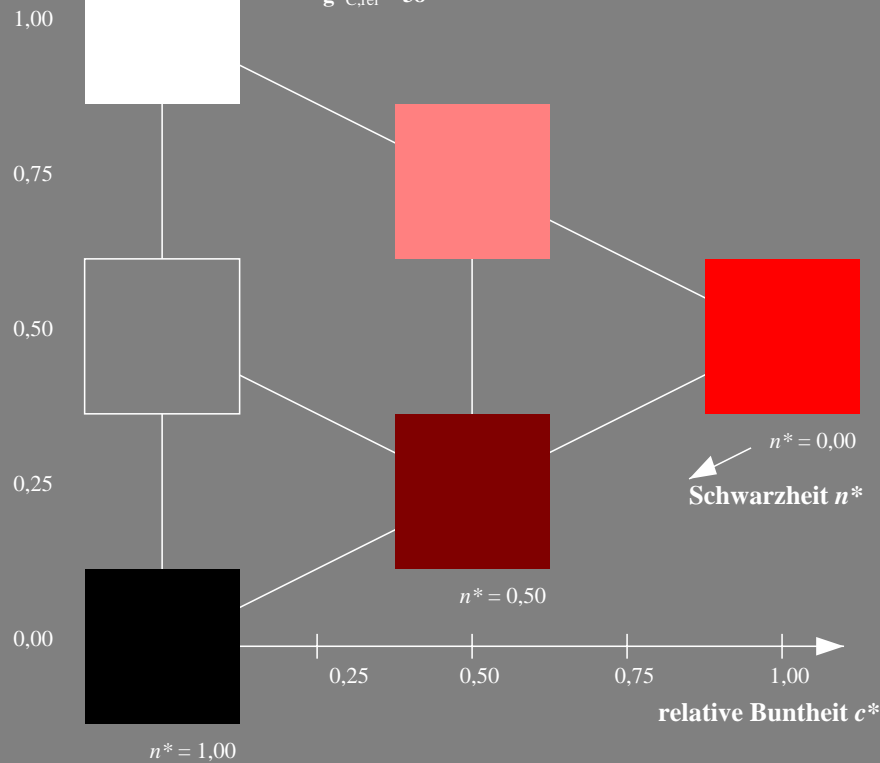
D65: Buntton O
LCH*Ma: 54 85 37
olv*Ma: 1.0 0.03 0.0

Dreiecks-Helligkeit t^*



%Umfang
 $u^*_{rel} = 118$
%Regularität
 $g^*_{H,rel} = 22$
 $g^*_{C,rel} = 40$

TLS18; adaptierte CIELAB-Daten					
	$L^*=L^*_a$	a^*_a	b^*_a	$C^*_{ab,a}$	$h^*_{ab,a}$
OMa	52.76	71.63	49.88	87.29	35
YMa	92.74	-20.02	84.97	87.3	103
LMa	84.0	-78.98	73.94	108.2	137
CMa	87.14	-44.41	-13.11	46.32	196
VMa	35.47	64.92	-95.06	115.12	304
MMa	59.01	89.33	-55.67	105.26	328
NMa	18.01	0.0	0.0	0.0	0
WMa	95.41	0.0	0.0	0.0	0
RCIE	39.92	58.74	27.99	65.07	25
JCIE	81.26	-2.88	71.56	71.62	92
GCIE	52.23	-42.41	13.6	44.55	162
BCIE	30.57	1.41	-46.46	46.49	272



VG660-7, 3stufige Reihen für konstanten CIELAB Buntton 37/360 = 0.102 (links)

5stufige Reihen für konstanten CIELAB Buntton 37/360 = 0.102 (rechts)

BAM-Prüfvorlage VG66; Farbmetrik-Systeme CNS18 & TLS18 input: olv* setrgbcolor

D65: 3 und 5stufige Farbreihen für 10 Bunttöne

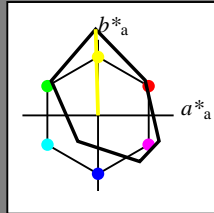
output: no change compared to input

Eingabe: Farbmetrisches Drucker-Reflektiv-System FRS06

für Buntton $h^* = lab^*h = 92/360 = 0.254$
 lab^*ich und lab^*nch

D65: Buntton J
LCH*Ma: 83 114 92
olv*Ma: 1.0 1.0 0.0

Dreiecks-Helligkeit t^*



%Umfang
 $u^*_{rel} = 115$
%Regularität
 $g^*_{H,rel} = 28$
 $g^*_{C,rel} = 38$

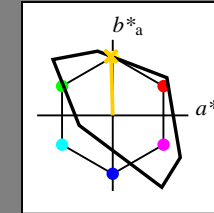
FRS06; adaptierte CIELAB-Daten					
	$L^*=L^*_a$	a^*_a	b^*_a	$C^*_{ab,a}$	$h^*_{ab,a}$
RMa	32.57	62.32	46.49	77.75	37
JMa	82.73	-3.16	113.99	114.03	92
GMa	39.43	-61.79	45.84	76.95	143
G50BMa	47.86	-26.79	-34.24	43.49	232
BMa	10.16	55.12	-61.03	82.24	312
B50RMa	34.5	80.68	-33.92	87.52	337
NMa	6.25	0.0	0.0	0.0	0
WMa	91.97	0.0	0.0	0.0	0
RCIE	39.92	59.8	31.05	67.38	27
JCIE	81.26	-2.52	76.25	76.29	92
GCIE	52.23	-41.56	17.14	44.96	158
BCIE	30.57	2.63	-43.77	43.86	273

Ausgabe: Farbmetrisches Fernseh-Licht-System TLS18

für Buntton $h^* = lab^*h = 92/360 = 0.254$
 lab^*ich und lab^*nch

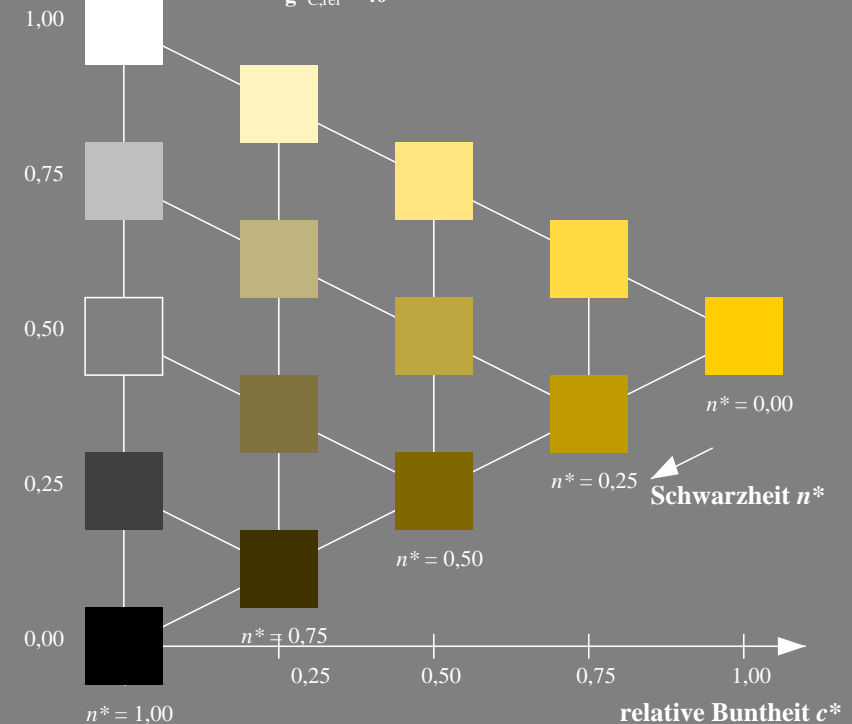
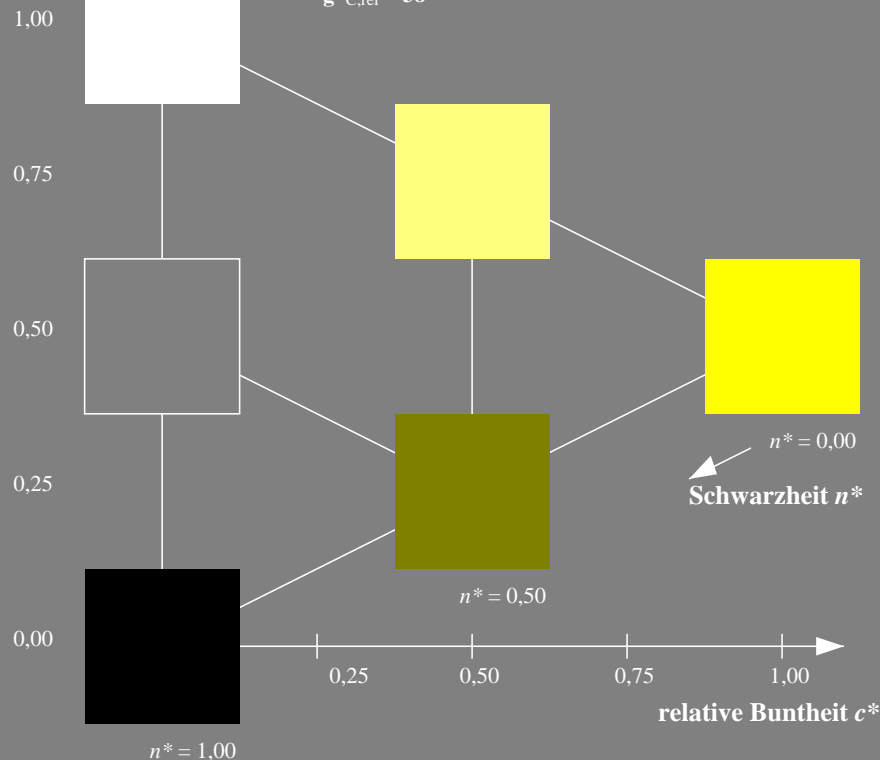
D65: Buntton Y
LCH*Ma: 85 78 92
olv*Ma: 1.0 0.81 0.0

Dreiecks-Helligkeit t^*



%Umfang
 $u^*_{rel} = 118$
%Regularität
 $g^*_{H,rel} = 22$
 $g^*_{C,rel} = 40$

TLS18; adaptierte CIELAB-Daten					
	$L^*=L^*_a$	a^*_a	b^*_a	$C^*_{ab,a}$	$h^*_{ab,a}$
OMa	52.76	71.63	49.88	87.29	35
YMa	92.74	-20.02	84.97	87.3	103
LMa	84.0	-78.98	73.94	108.2	137
CMa	87.14	-44.41	-13.11	46.32	196
VMa	35.47	64.92	-95.06	115.12	304
MMa	59.01	89.33	-55.67	105.26	328
NMa	18.01	0.0	0.0	0.0	0
WMa	95.41	0.0	0.0	0.0	0
RCIE	39.92	58.74	27.99	65.07	25
JCIE	81.26	-2.88	71.56	71.62	92
GCIE	52.23	-42.41	13.6	44.55	162
BCIE	30.57	1.41	-46.46	46.49	272



VG660-7, 3stufige Reihen für konstanten CIELAB Buntton 92/360 = 0.254 (links)

5stufige Reihen für konstanten CIELAB Buntton 92/360 = 0.254 (rechts)

BAM-Prüfvorlage VG66; Farbmetrik-Systeme CNS18 & TLS18 input: olv* setrgbcolor
D65: 3 und 5stufige Farbreihen für 10 Bunttöne

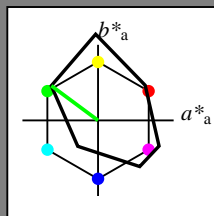
output: no change compared to input

Eingabe: Farbmetrisches Drucker-Reflektiv-System FRS06

für Buntton $h^* = lab^*h = 143/360 = 0.398$
 lab^*ich und lab^*nch

D65: Buntton G
LCH*Ma: 39 77 143
olv*Ma: 0.0 1.0 0.0

Dreiecks-Helligkeit t^*



%Umfang
 $u^*_{rel} = 115$
%Regularität
 $g^*_{H,rel} = 28$
 $g^*_{C,rel} = 38$

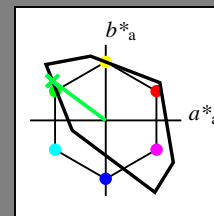
FRS06; adaptierte CIELAB-Daten					
	$L^*=L^*_a$	a^*_a	b^*_a	$C^*_{ab,a}$	$h^*_{ab,a}$
RMa	32.57	62.32	46.49	77.75	37
JMa	82.73	-3.16	113.99	114.03	92
GMa	39.43	-61.79	45.84	76.95	143
G50BMa	47.86	-26.79	-34.24	43.49	232
BMa	10.16	55.12	-61.03	82.24	312
B50RMa	34.5	80.68	-33.92	87.52	337
NMa	6.25	0.0	0.0	0.0	0
WMa	91.97	0.0	0.0	0.0	0
RCIE	39.92	59.8	31.05	67.38	27
JCIE	81.26	-2.52	76.25	76.29	92
GCIE	52.23	-41.56	17.14	44.96	158
BCIE	30.57	2.63	-43.77	43.86	273

Ausgabe: Farbmetrisches Fernseh-Licht-System TLS18

für Buntton $h^* = lab^*h = 143/360 = 0.398$
 lab^*ich und lab^*nch

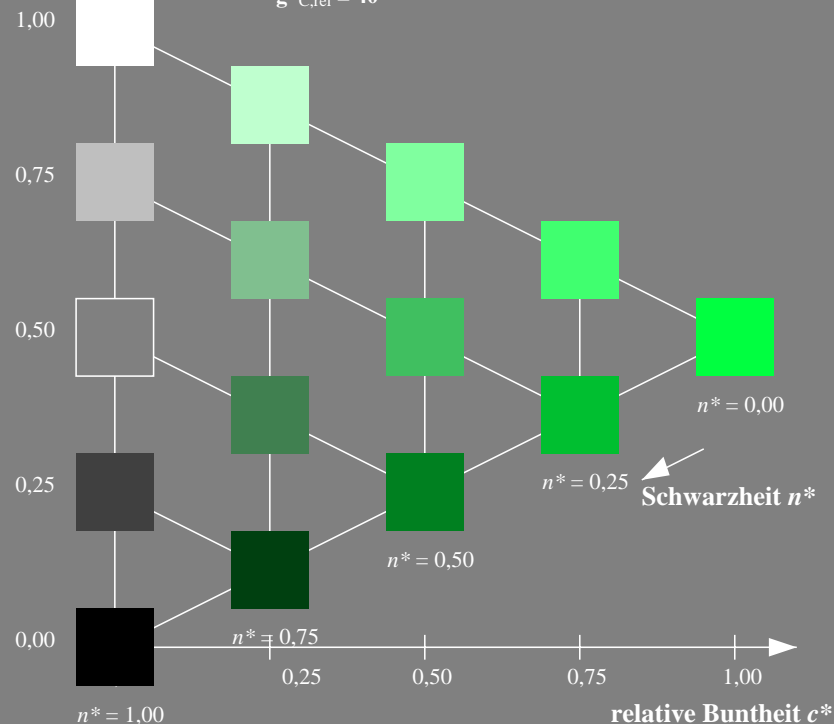
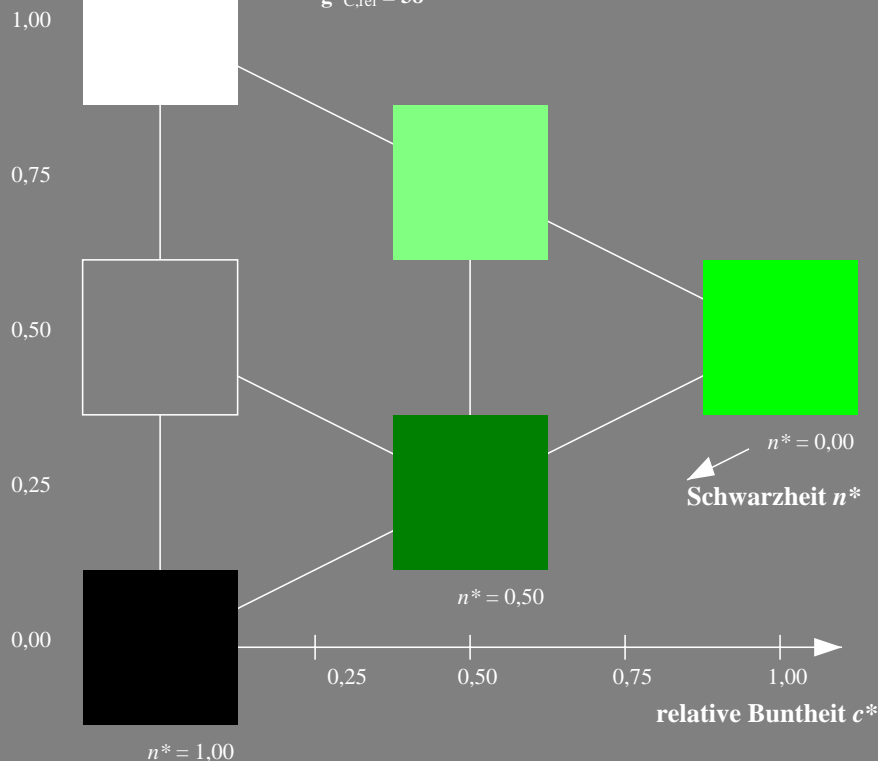
D65: Buntton L
LCH*Ma: 85 88 143
olv*Ma: 0.0 1.0 0.25

Dreiecks-Helligkeit t^*



%Umfang
 $u^*_{rel} = 118$
%Regularität
 $g^*_{H,rel} = 22$
 $g^*_{C,rel} = 40$

TLS18; adaptierte CIELAB-Daten					
	$L^*=L^*_a$	a^*_a	b^*_a	$C^*_{ab,a}$	$h^*_{ab,a}$
OMa	52.76	71.63	49.88	87.29	35
YMa	92.74	-20.02	84.97	87.3	103
LMa	84.0	-78.98	73.94	108.2	137
CMa	87.14	-44.41	-13.11	46.32	196
VMa	35.47	64.92	-95.06	115.12	304
MMa	59.01	89.33	-55.67	105.26	328
NMa	18.01	0.0	0.0	0.0	0
WMa	95.41	0.0	0.0	0.0	0
RCIE	39.92	58.74	27.99	65.07	25
JCIE	81.26	-2.88	71.56	71.62	92
GCIE	52.23	-42.41	13.6	44.55	162
BCIE	30.57	1.41	-46.46	46.49	272



VG660-7, 3stufige Reihen für konstanten CIELAB Buntton 143/360 = 0.398 (links)

5stufige Reihen für konstanten CIELAB Buntton 143/360 = 0.398 (rechts)

BAM-Prüfvorlage VG66; Farbmetrik-Systeme CNS18 & TLS18 input: olv* setrgbcolor

D65: 3 und 5stufige Farbreihen für 10 Bunttöne

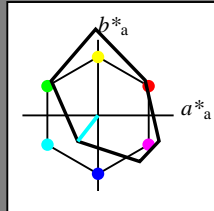
output: no change compared to input

Eingabe: Farbmetrisches Drucker-Reflektiv-System FRS06

für Buntton $h^* = lab^*h = 232/360 = 0.644$
 lab^*ich und lab^*nch

D65: Buntton G50B
LCH*Ma: 48 43 232
olv*Ma: 0.0 1.0 1.0

Dreiecks-Helligkeit t^*



%Umfang
 $u^*_{rel} = 115$
%Regularität
 $g^*_{H,rel} = 28$
 $g^*_{C,rel} = 38$

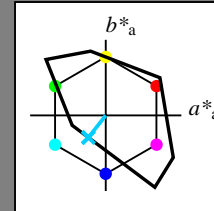
FRS06; adaptierte CIELAB-Daten					
	$L^*=L^*_a$	a^*_a	b^*_a	$C^*_{ab,a}$	$h^*_{ab,a}$
RMa	32.57	62.32	46.49	77.75	37
JMa	82.73	-3.16	113.99	114.03	92
GMa	39.43	-61.79	45.84	76.95	143
G50BMa	47.86	-26.79	-34.24	43.49	232
BMa	10.16	55.12	-61.03	82.24	312
B50RMa	34.5	80.68	-33.92	87.52	337
NMa	6.25	0.0	0.0	0.0	0
WMa	91.97	0.0	0.0	0.0	0
RCIE	39.92	59.8	31.05	67.38	27
JCIE	81.26	-2.52	76.25	76.29	92
GCIE	52.23	-41.56	17.14	44.96	158
BCIE	30.57	2.63	-43.77	43.86	273

Ausgabe: Farbmetrisches Fernseh-Licht-System TLS18

für Buntton $h^* = lab^*h = 232/360 = 0.644$
 lab^*ich und lab^*nch

D65: Buntton C
LCH*Ma: 77 37 232
olv*Ma: 0.0 0.8 1.0

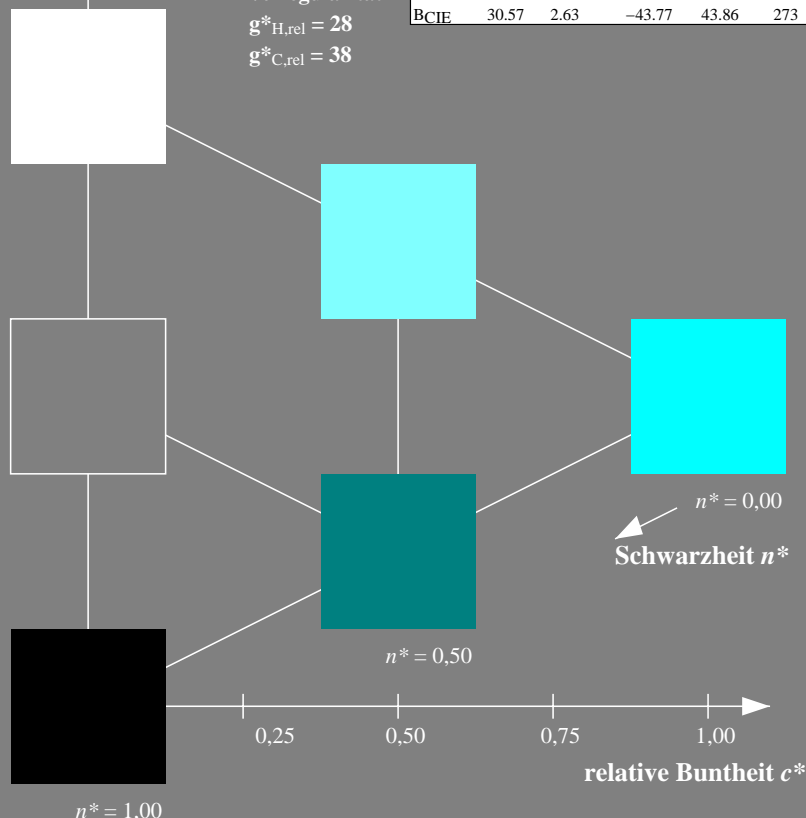
Dreiecks-Helligkeit t^*



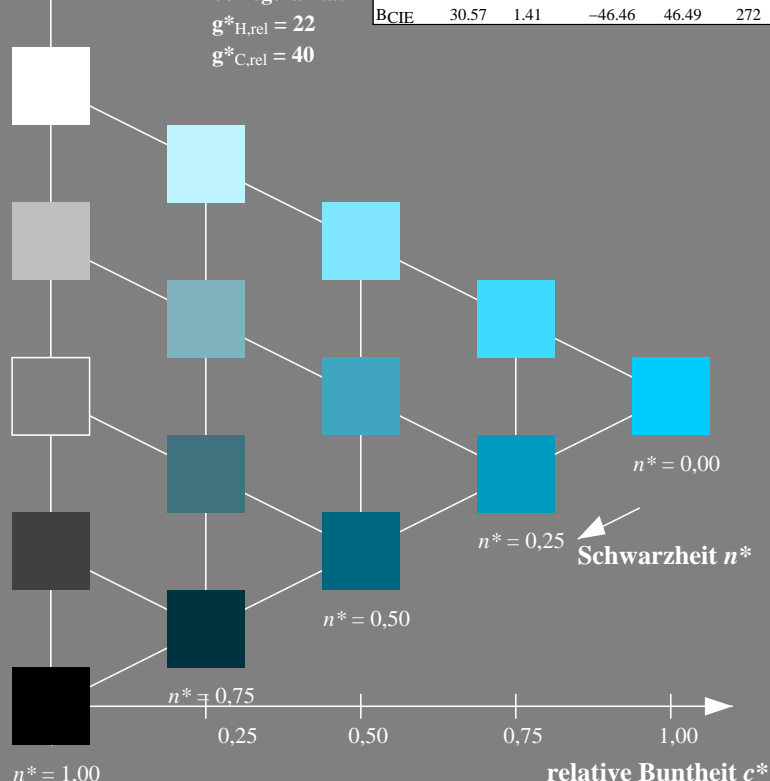
%Umfang
 $u^*_{rel} = 118$
%Regularität
 $g^*_{H,rel} = 22$
 $g^*_{C,rel} = 40$

TLS18; adaptierte CIELAB-Daten					
	$L^*=L^*_a$	a^*_a	b^*_a	$C^*_{ab,a}$	$h^*_{ab,a}$
OMa	52.76	71.63	49.88	87.29	35
YMa	92.74	-20.02	84.97	87.3	103
LMa	84.0	-78.98	73.94	108.2	137
CMa	87.14	-44.41	-13.11	46.32	196
VMa	35.47	64.92	-95.06	115.12	304
MMa	59.01	89.33	-55.67	105.26	328
NMa	18.01	0.0	0.0	0.0	0
WMa	95.41	0.0	0.0	0.0	0
RCIE	39.92	58.74	27.99	65.07	25
JCIE	81.26	-2.88	71.56	71.62	92
GCIE	52.23	-42.41	13.6	44.55	162
BCIE	30.57	1.41	-46.46	46.49	272

1,00
0,75
0,50
0,25
0,00



1,00
0,75
0,50
0,25
0,00



VG660-7, 3stufige Reihen für konstanten CIELAB Buntton 232/360 = 0.644 (links)

5stufige Reihen für konstanten CIELAB Buntton 232/360 = 0.644 (rechts)

BAM-Prüfvorlage VG66; Farbmetrik-Systeme CNS18 & TLS18 input: olv* setrgbcolor
D65: 3 und 5stufige Farbreihen für 10 Bunttöne

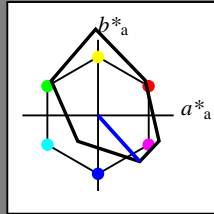
output: no change compared to input

Eingabe: Farbmetrisches Drucker-Reflektiv-System FRS06

für Buntton $h^* = lab^*h = 312/360 = 0.867$
 lab^*ich und lab^*nch

D65: Buntton B
LCH*Ma: 10 82 312
olv*Ma: 0.0 0.0 1.0

Dreiecks-Helligkeit t^*



%Umfang
 $u^*_{rel} = 115$
%Regularität
 $g^*_{H,rel} = 28$
 $g^*_{C,rel} = 38$

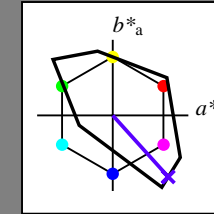
FRS06; adaptierte CIELAB-Daten					
	$L^*=L^*_a$	a^*_a	b^*_a	$C^*_{ab,a}$	$h^*_{ab,a}$
RMa	32.57	62.32	46.49	77.75	37
JMa	82.73	-3.16	113.99	114.03	92
GMa	39.43	-61.79	45.84	76.95	143
G50BMa	47.86	-26.79	-34.24	43.49	232
BMa	10.16	55.12	-61.03	82.24	312
B50RMa	34.5	80.68	-33.92	87.52	337
NMa	6.25	0.0	0.0	0.0	0
WMa	91.97	0.0	0.0	0.0	0
RCIE	39.92	59.8	31.05	67.38	27
JCIE	81.26	-2.52	76.25	76.29	92
GCIE	52.23	-41.56	17.14	44.96	158
BCIE	30.57	2.63	-43.77	43.86	273

Ausgabe: Farbmetrisches Fernseh-Licht-System TLS18

für Buntton $h^* = lab^*h = 312/360 = 0.867$
 lab^*ich und lab^*nch

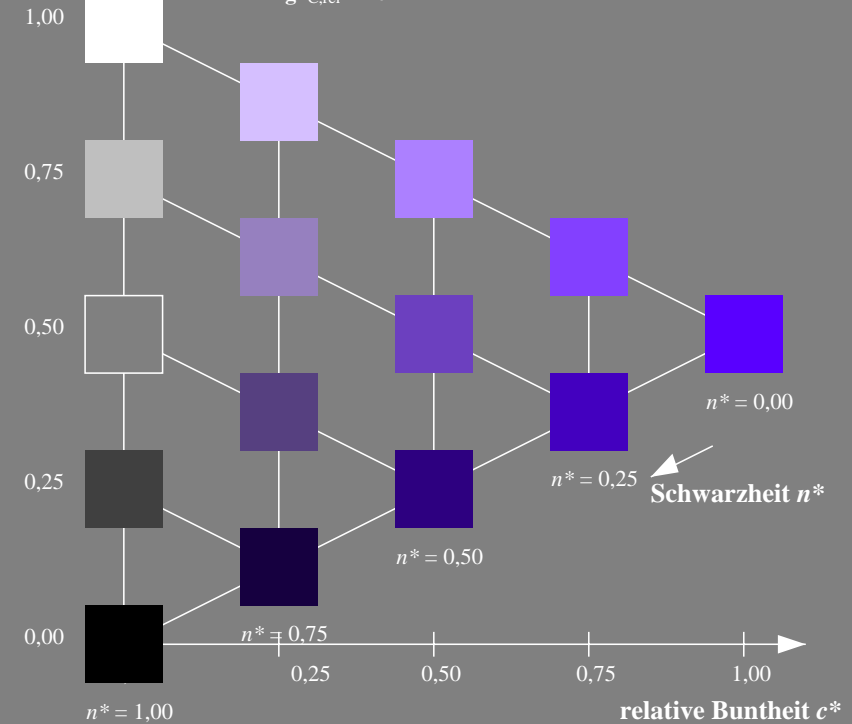
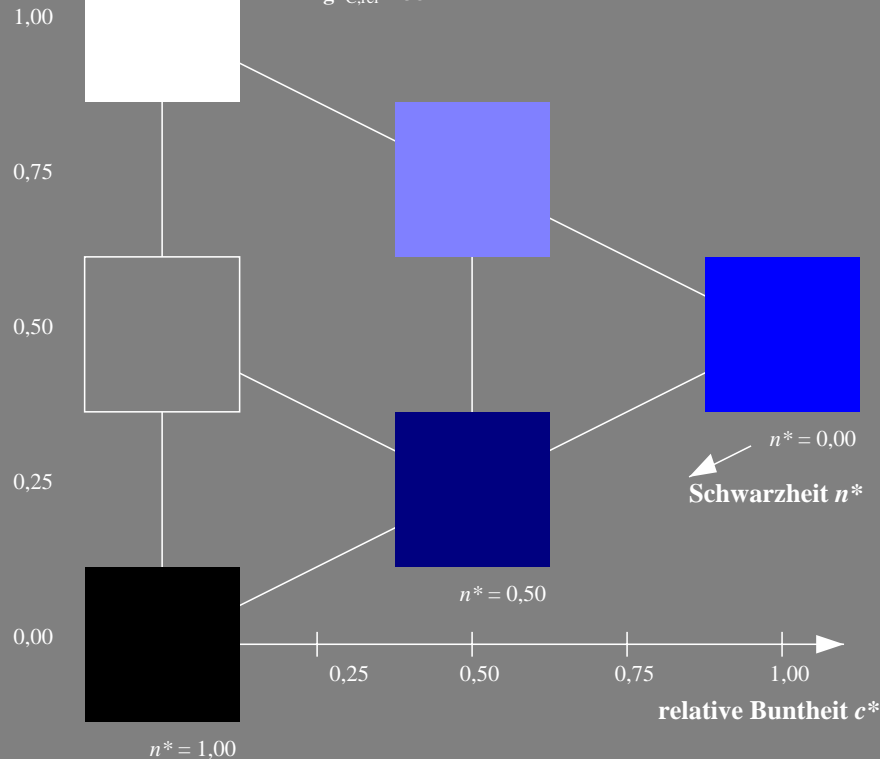
D65: Buntton V
LCH*Ma: 44 110 312
olv*Ma: 0.35 0.0 1.0

Dreiecks-Helligkeit t^*



%Umfang
 $u^*_{rel} = 118$
%Regularität
 $g^*_{H,rel} = 22$
 $g^*_{C,rel} = 40$

TLS18; adaptierte CIELAB-Daten					
	$L^*=L^*_a$	a^*_a	b^*_a	$C^*_{ab,a}$	$h^*_{ab,a}$
OMa	52.76	71.63	49.88	87.29	35
YMa	92.74	-20.02	84.97	87.3	103
LMa	84.0	-78.98	73.94	108.2	137
CMa	87.14	-44.41	-13.11	46.32	196
VMa	35.47	64.92	-95.06	115.12	304
MMa	59.01	89.33	-55.67	105.26	328
NMa	18.01	0.0	0.0	0.0	0
WMa	95.41	0.0	0.0	0.0	0
RCIE	39.92	58.74	27.99	65.07	25
JCIE	81.26	-2.88	71.56	71.62	92
GCIE	52.23	-42.41	13.6	44.55	162
BCIE	30.57	1.41	-46.46	46.49	272



VG660-7, 3stufige Reihen für konstanten CIELAB Buntton 312/360 = 0.867 (links)

5stufige Reihen für konstanten CIELAB Buntton 312/360 = 0.867 (rechts)

BAM-Prüfvorlage VG66; Farbmetrik-Systeme CNS18 & TLS18 input: olv* setrgbcolor

D65: 3 und 5stufige Farbreihen für 10 Bunttöne

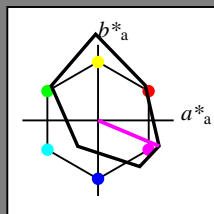
output: no change compared to input

Eingabe: Farbmetrisches Drucker-Reflektiv-System FRS06

für Buntton $h^* = lab^*h = 337/360 = 0.937$
 lab^*ich und lab^*nch

D65: Buntton B50R
LCH*Ma: 35 88 337
olv*Ma: 1.0 0.0 1.0

Dreiecks-Helligkeit t^*



%Umfang
 $u^*_{rel} = 115$
%Regularität
 $g^*_{H,rel} = 28$
 $g^*_{C,rel} = 38$

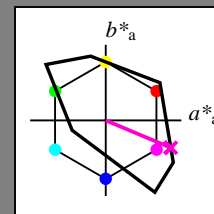
FRS06; adaptierte CIELAB-Daten					
	$L^*=L^*_a$	a^*_a	b^*_a	$C^*_{ab,a}$	$h^*_{ab,a}$
RMa	32.57	62.32	46.49	77.75	37
JMa	82.73	-3.16	113.99	114.03	92
GMa	39.43	-61.79	45.84	76.95	143
G50BMa	47.86	-26.79	-34.24	43.49	232
BMa	10.16	55.12	-61.03	82.24	312
B50RMa	34.5	80.68	-33.92	87.52	337
NMa	6.25	0.0	0.0	0.0	0
WMa	91.97	0.0	0.0	0.0	0
RCIE	39.92	59.8	31.05	67.38	27
JCIE	81.26	-2.52	76.25	76.29	92
GCIE	52.23	-41.56	17.14	44.96	158
BCIE	30.57	2.63	-43.77	43.86	273

Ausgabe: Farbmetrisches Fernseh-Licht-System TLS18

für Buntton $h^* = lab^*h = 337/360 = 0.937$
 lab^*ich und lab^*nch

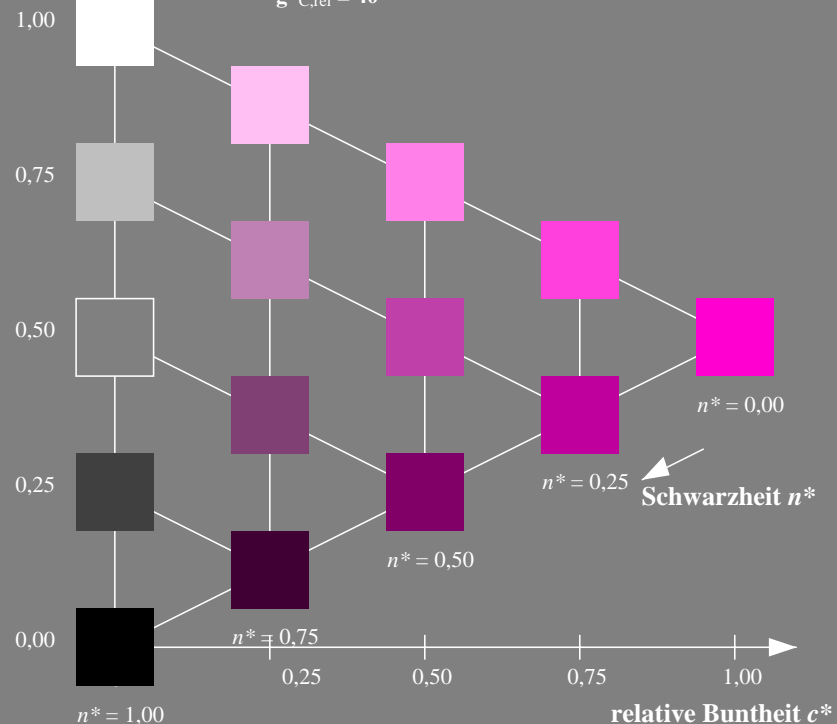
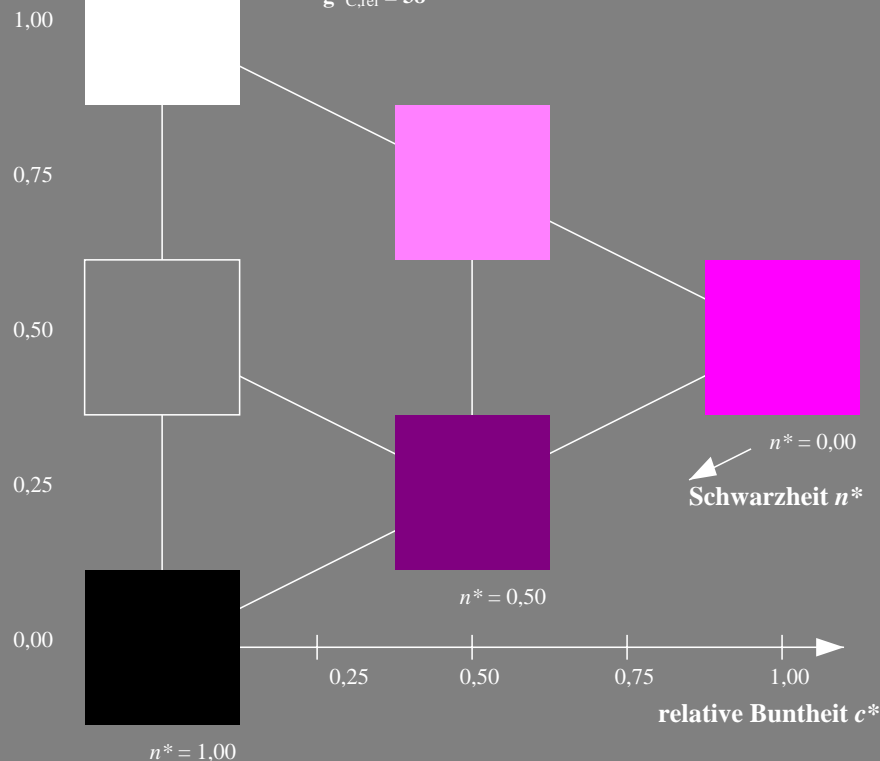
D65: Buntton M
LCH*Ma: 58 93 337
olv*Ma: 1.0 0.0 0.82

Dreiecks-Helligkeit t^*



%Umfang
 $u^*_{rel} = 118$
%Regularität
 $g^*_{H,rel} = 22$
 $g^*_{C,rel} = 40$

TLS18; adaptierte CIELAB-Daten					
	$L^*=L^*_a$	a^*_a	b^*_a	$C^*_{ab,a}$	$h^*_{ab,a}$
OMa	52.76	71.63	49.88	87.29	35
YMa	92.74	-20.02	84.97	87.3	103
LMa	84.0	-78.98	73.94	108.2	137
CMa	87.14	-44.41	-13.11	46.32	196
VMa	35.47	64.92	-95.06	115.12	304
MMa	59.01	89.33	-55.67	105.26	328
NMa	18.01	0.0	0.0	0.0	0
WMa	95.41	0.0	0.0	0.0	0
RCIE	39.92	58.74	27.99	65.07	25
JCIE	81.26	-2.88	71.56	71.62	92
GCIE	52.23	-42.41	13.6	44.55	162
BCIE	30.57	1.41	-46.46	46.49	272



VG660-7, 3stufige Reihen für konstanten CIELAB Buntton 337/360 = 0.937 (links)

5stufige Reihen für konstanten CIELAB Buntton 337/360 = 0.937 (rechts)

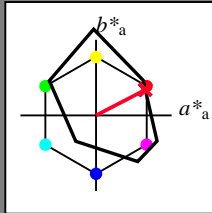
BAM-Prüfvorlage VG66; Farbmetrik-Systeme CNS18 & TLS18 input: olv* setrgbcolor
D65: 3 und 5stufige Farbreihen für 10 Bunttöne
output: no change compared to input

Eingabe: Farbmetrisches Drucker-Reflektiv-System FRS06

für Buntton $h^* = lab^*h = 27/360 = 0.076$
 lab^*ich und lab^*nch

D65: Buntton R
LCH*Ma: 33 73 27
olv*Ma: 1.0 0.0 0.16

Dreiecks-Helligkeit t^*



%Umfang
 $u^*_{rel} = 115$
%Regularität
 $g^*_{H,rel} = 28$
 $g^*_{C,rel} = 38$

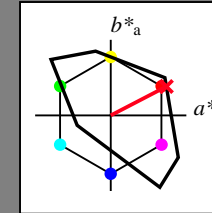
FRS06; adaptierte CIELAB-Daten					
	$L^*=L^*_a$	a^*_a	b^*_a	$C^*_{ab,a}$	$h^*_{ab,a}$
RMa	32.57	62.32	46.49	77.75	37
JMa	82.73	-3.16	113.99	114.03	92
GMa	39.43	-61.79	45.84	76.95	143
G50BMa	47.86	-26.79	-34.24	43.49	232
BMa	10.16	55.12	-61.03	82.24	312
B50RMa	34.5	80.68	-33.92	87.52	337
NMa	6.25	0.0	0.0	0.0	0
WMa	91.97	0.0	0.0	0.0	0
RCIE	39.92	59.8	31.05	67.38	27
JCIE	81.26	-2.52	76.25	76.29	92
GCIE	52.23	-41.56	17.14	44.96	158
BCIE	30.57	2.63	-43.77	43.86	273

Ausgabe: Farbmetrisches Fernseh-Licht-System TLS18

für Buntton $h^* = lab^*h = 27/360 = 0.076$
 lab^*ich und lab^*nch

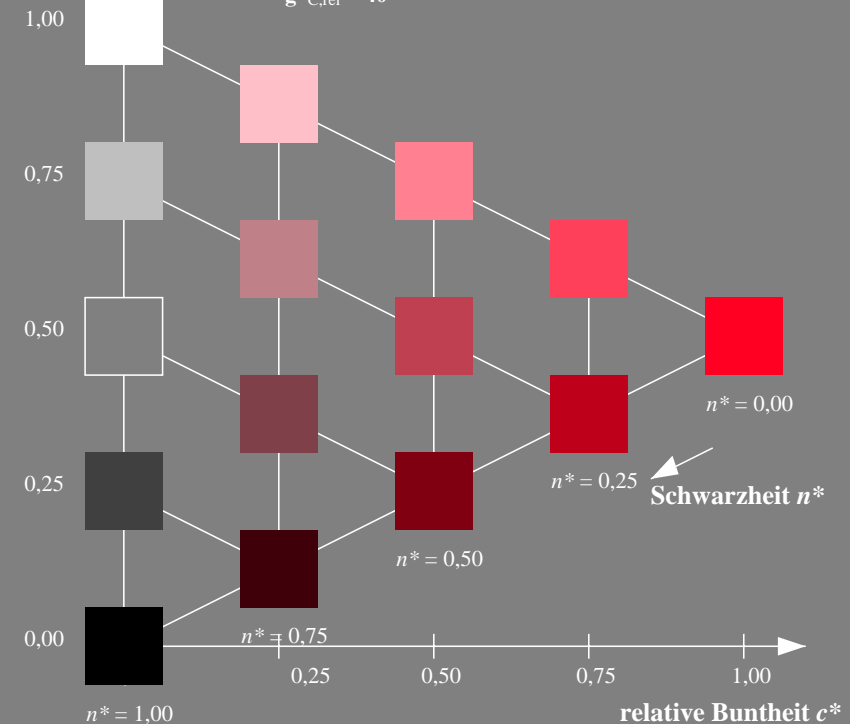
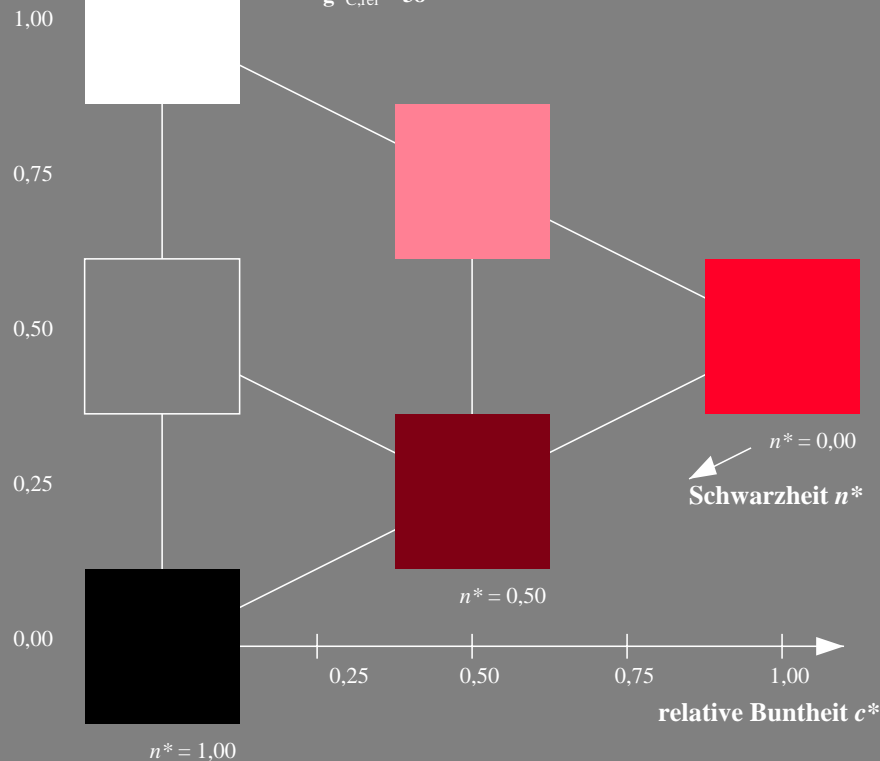
D65: Buntton R
LCH*Ma: 53 83 27
olv*Ma: 1.0 0.0 0.11

Dreiecks-Helligkeit t^*



%Umfang
 $u^*_{rel} = 118$
%Regularität
 $g^*_{H,rel} = 22$
 $g^*_{C,rel} = 40$

TLS18; adaptierte CIELAB-Daten					
	$L^*=L^*_a$	a^*_a	b^*_a	$C^*_{ab,a}$	$h^*_{ab,a}$
OMa	52.76	71.63	49.88	87.29	35
YMa	92.74	-20.02	84.97	87.3	103
LMa	84.0	-78.98	73.94	108.2	137
CMa	87.14	-44.41	-13.11	46.32	196
VMa	35.47	64.92	-95.06	115.12	304
MMa	59.01	89.33	-55.67	105.26	328
NMa	18.01	0.0	0.0	0.0	0
WMa	95.41	0.0	0.0	0.0	0
RCIE	39.92	58.74	27.99	65.07	25
JCIE	81.26	-2.88	71.56	71.62	92
GCIE	52.23	-42.41	13.6	44.55	162
BCIE	30.57	1.41	-46.46	46.49	272



VG660-7, 3stufige Reihen für konstanten CIELAB Buntton 27/360 = 0.076 (links)

5stufige Reihen für konstanten CIELAB Buntton 27/360 = 0.076 (rechts)

BAM-Prüfvorlage VG66; Farbmetrik-Systeme CNS18 & TLS18 input: olv* setrgbcolor
D65: 3 und 5stufige Farbreihen für 10 Bunttöne

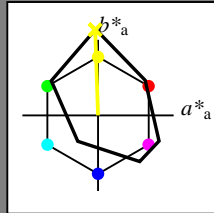
output: no change compared to input

Eingabe: Farbmetrisches Drucker-Reflektiv-System FRS06

für Buntton $h^* = lab^*h = 92/360 = 0.255$
 lab^*ich und lab^*nch

D65: Buntton J
LCH*Ma: 82 113 92
olv*Ma: 0.99 1.0 0.0

Dreiecks-Helligkeit t^*



%Umfang
 $u^*_{rel} = 115$
%Regularität
 $g^*_{H,rel} = 28$
 $g^*_{C,rel} = 38$

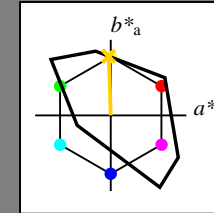
FRS06; adaptierte CIELAB-Daten					
	$L^*=L^*_a$	a^*_a	b^*_a	$C^*_{ab,a}$	$h^*_{ab,a}$
RMa	32.57	62.32	46.49	77.75	37
JMa	82.73	-3.16	113.99	114.03	92
GMa	39.43	-61.79	45.84	76.95	143
G50BMa	47.86	-26.79	-34.24	43.49	232
BMa	10.16	55.12	-61.03	82.24	312
B50RMa	34.5	80.68	-33.92	87.52	337
NMa	6.25	0.0	0.0	0.0	0
WMa	91.97	0.0	0.0	0.0	0
RCIE	39.92	59.8	31.05	67.38	27
JCIE	81.26	-2.52	76.25	76.29	92
GCIE	52.23	-41.56	17.14	44.96	158
BCIE	30.57	2.63	-43.77	43.86	273

Ausgabe: Farbmetrisches Fernseh-Licht-System TLS18

für Buntton $h^* = lab^*h = 92/360 = 0.255$
 lab^*ich und lab^*nch

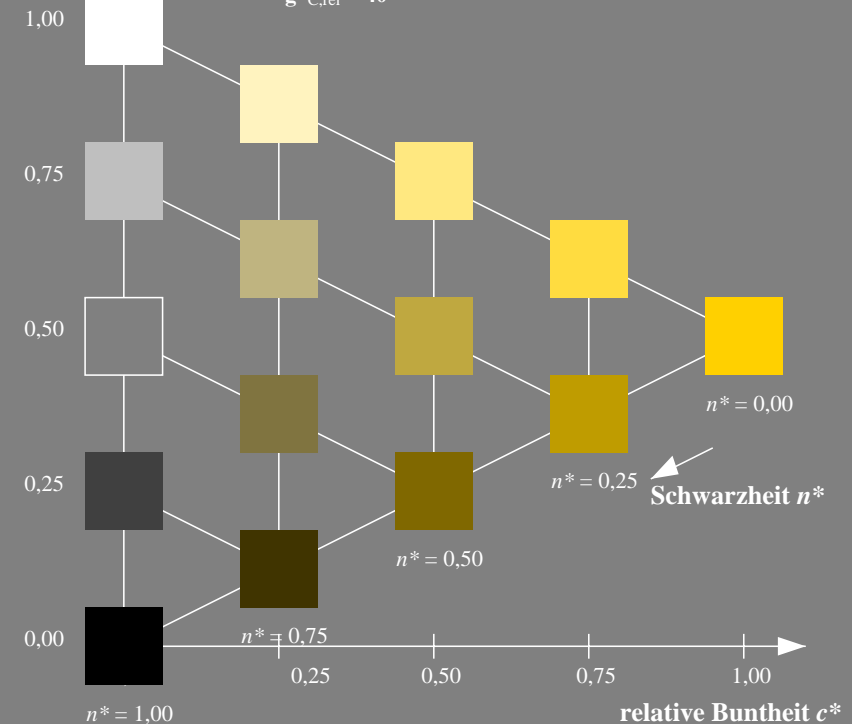
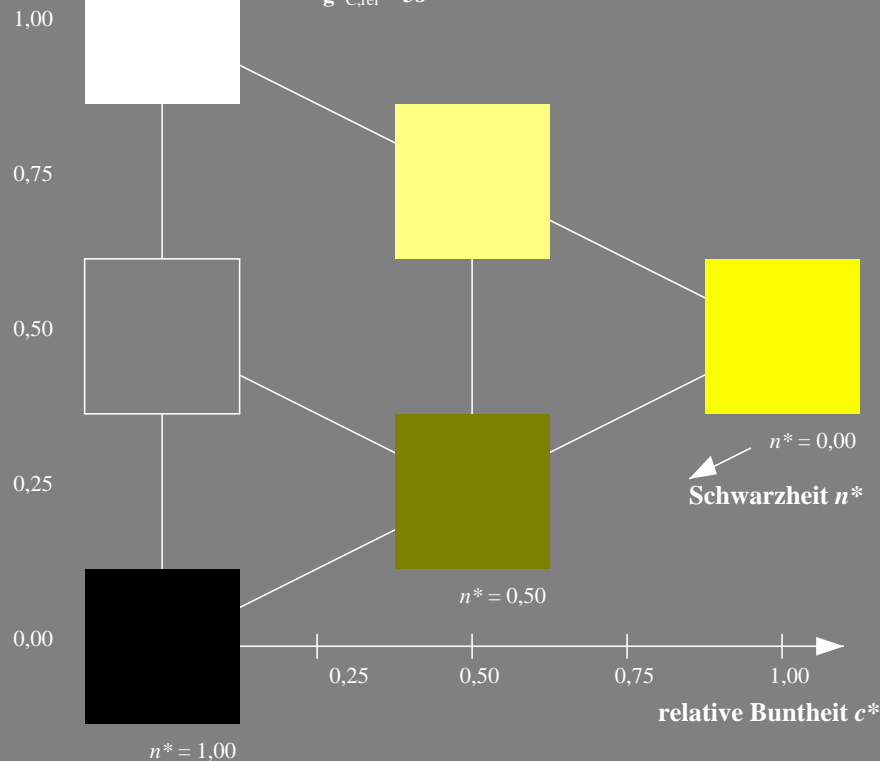
D65: Buntton J
LCH*Ma: 85 78 92
olv*Ma: 1.0 0.81 0.0

Dreiecks-Helligkeit t^*



%Umfang
 $u^*_{rel} = 118$
%Regularität
 $g^*_{H,rel} = 22$
 $g^*_{C,rel} = 40$

TLS18; adaptierte CIELAB-Daten					
	$L^*=L^*_a$	a^*_a	b^*_a	$C^*_{ab,a}$	$h^*_{ab,a}$
OMa	52.76	71.63	49.88	87.29	35
YMa	92.74	-20.02	84.97	87.3	103
LMa	84.0	-78.98	73.94	108.2	137
CMa	87.14	-44.41	-13.11	46.32	196
VMa	35.47	64.92	-95.06	115.12	304
MMa	59.01	89.33	-55.67	105.26	328
NMa	18.01	0.0	0.0	0.0	0
WMa	95.41	0.0	0.0	0.0	0
RCIE	39.92	58.74	27.99	65.07	25
JCIE	81.26	-2.88	71.56	71.62	92
GCIE	52.23	-42.41	13.6	44.55	162
BCIE	30.57	1.41	-46.46	46.49	272



VG660-7, 3stufige Reihen für konstanten CIELAB Buntton 92/360 = 0.255 (links)

5stufige Reihen für konstanten CIELAB Buntton 92/360 = 0.255 (rechts)

BAM-Prüfvorlage VG66; Farbmetrik-Systeme CNS18 & TLS18 input: olv* setrgbcolor
D65: 3 und 5stufige Farbreihen für 10 Bunttöne

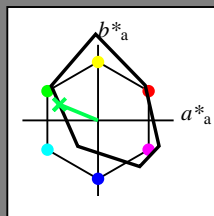
output: no change compared to input

Eingabe: Farbmetrisches Drucker-Reflektiv-System FRS06

für Buntton $h^* = lab^*h = 158/360 = 0.438$
 lab^*ich und lab^*nch

D65: Buntton G
LCH*Ma: 42 55 158
olv*Ma: 0.0 1.0 0.31

Dreiecks-Helligkeit t^*



%Umfang
 $u^*_{rel} = 115$
%Regularität
 $g^*_{H,rel} = 28$
 $g^*_{C,rel} = 38$

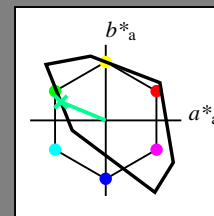
FRS06; adaptierte CIELAB-Daten					
	$L^*=L^*_a$	a^*_a	b^*_a	$C^*_{ab,a}$	$h^*_{ab,a}$
RMa	32.57	62.32	46.49	77.75	37
JMa	82.73	-3.16	113.99	114.03	92
GMa	39.43	-61.79	45.84	76.95	143
G50BMa	47.86	-26.79	-34.24	43.49	232
BMa	10.16	55.12	-61.03	82.24	312
B50RMa	34.5	80.68	-33.92	87.52	337
NMa	6.25	0.0	0.0	0.0	0
WMa	91.97	0.0	0.0	0.0	0
RCIE	39.92	59.8	31.05	67.38	27
JCIE	81.26	-2.52	76.25	76.29	92
GCIE	52.23	-41.56	17.14	44.96	158
BCIE	30.57	2.63	-43.77	43.86	273

Ausgabe: Farbmetrisches Fernseh-Licht-System TLS18

für Buntton $h^* = lab^*h = 158/360 = 0.438$
 lab^*ich und lab^*nch

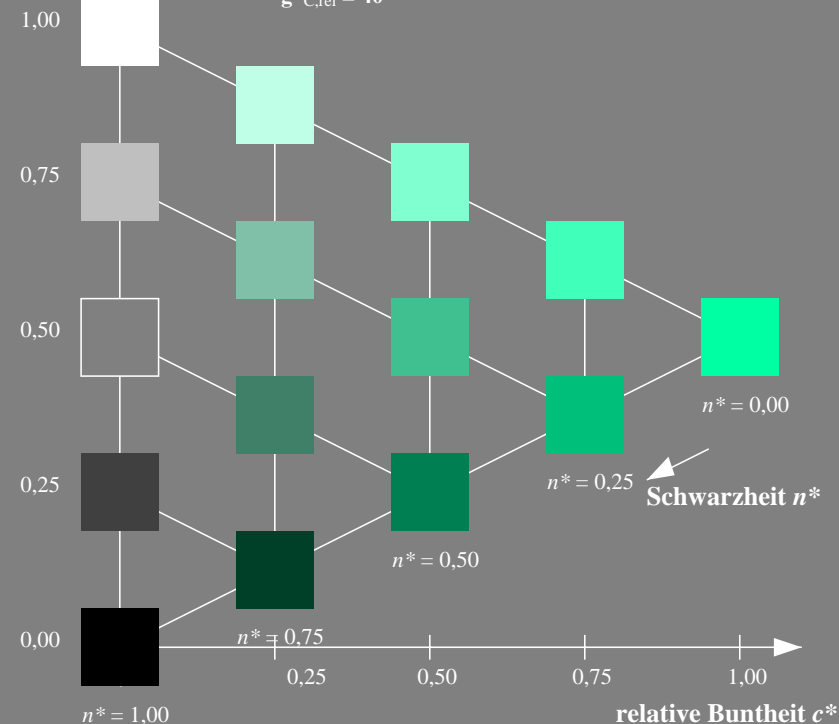
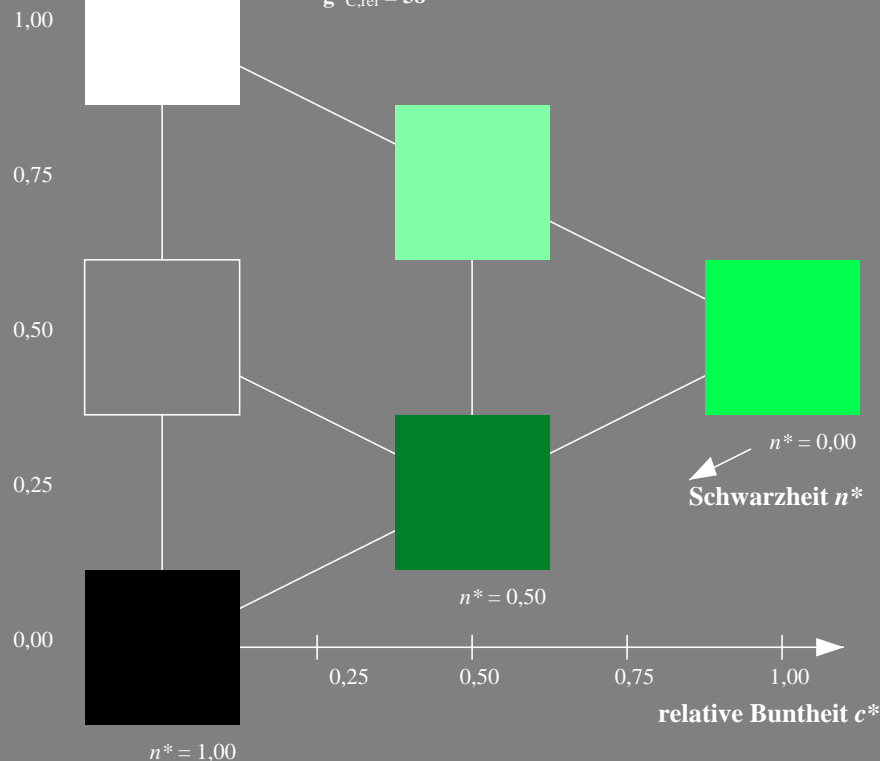
D65: Buntton G
LCH*Ma: 86 64 158
olv*Ma: 0.0 1.0 0.57

Dreiecks-Helligkeit t^*



%Umfang
 $u^*_{rel} = 118$
%Regularität
 $g^*_{H,rel} = 22$
 $g^*_{C,rel} = 40$

TLS18; adaptierte CIELAB-Daten					
	$L^*=L^*_a$	a^*_a	b^*_a	$C^*_{ab,a}$	$h^*_{ab,a}$
OMa	52.76	71.63	49.88	87.29	35
YMa	92.74	-20.02	84.97	87.3	103
LMa	84.0	-78.98	73.94	108.2	137
CMa	87.14	-44.41	-13.11	46.32	196
VMa	35.47	64.92	-95.06	115.12	304
MMa	59.01	89.33	-55.67	105.26	328
NMa	18.01	0.0	0.0	0.0	0
WMa	95.41	0.0	0.0	0.0	0
RCIE	39.92	58.74	27.99	65.07	25
JCIE	81.26	-2.88	71.56	71.62	92
GCIE	52.23	-42.41	13.6	44.55	162
BCIE	30.57	1.41	-46.46	46.49	272



VG660-7, 3stufige Reihen für konstanten CIELAB Buntton 158/360 = 0.438 (links)

5stufige Reihen für konstanten CIELAB Buntton 158/360 = 0.438 (rechts)

BAM-Prüfvorlage VG66; Farbmetrik-Systeme CNS18 & TLS18 input: olv* setrgbcolor

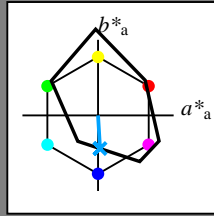
D65: 3 und 5stufige Farbreihen für 10 Bunttöne

output: no change compared to input

Eingabe: Farbmétrisches Drucker-Reflektiv-System FRS06

für Buntton $h^* = lab^*h = 273/360 = 0.76$
 lab^*ch und lab^*nh

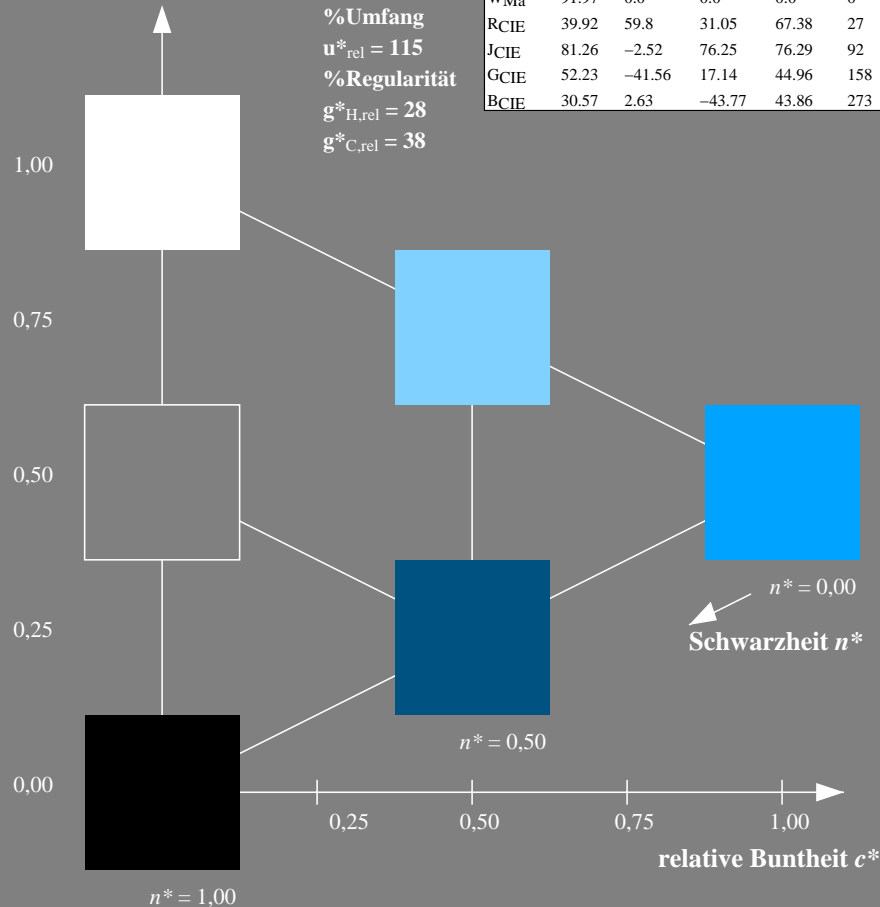
D65: Buntton B
LCH*Ma: 34 44 273
olv*Ma: 0.0 0.64 1.0



%Umfang
 $u^*_{\text{rel}} = 115$
%Regularität
 $g^*_{\text{H,rel}} = 28$
 $g^*_{\text{C,rel}} = 38$

FRS06; adaptierte CIELAB-Daten					
	$L^* = L^*_a$	a^*_a	b^*_a	$C^*_{ab,a}$	$h^*_{ab,a}$
RMa	32.57	62.32	46.49	77.75	37
JMa	82.73	-3.16	113.99	114.03	92
GMa	39.43	-61.79	45.84	76.95	143
G50B _{Ma}	47.86	-26.79	-34.24	43.49	232
B _{Ma}	10.16	55.12	-61.03	82.24	312
B50R _{Ma}	34.5	80.68	-33.92	87.52	337
N _{Ma}	6.25	0.0	0.0	0.0	0
W _{Ma}	91.97	0.0	0.0	0.0	0
R _{CIE}	39.92	59.8	31.05	67.38	27
J _{CIE}	81.26	-2.52	76.25	76.29	92
G _{CIE}	52.23	-41.56	17.14	44.96	158
B _{CIE}	30.57	2.63	-43.77	43.86	273

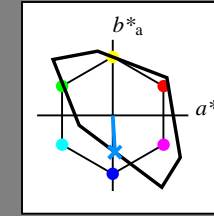
Dreiecks-Helligkeit t^*



Ausgabe: Farbmetrisches Fernseh-Licht-System TLS18

für Buntton $h^* = lab^*h = 273/360 = 0.76$	
lab^*tch und lab^*nch	h^*

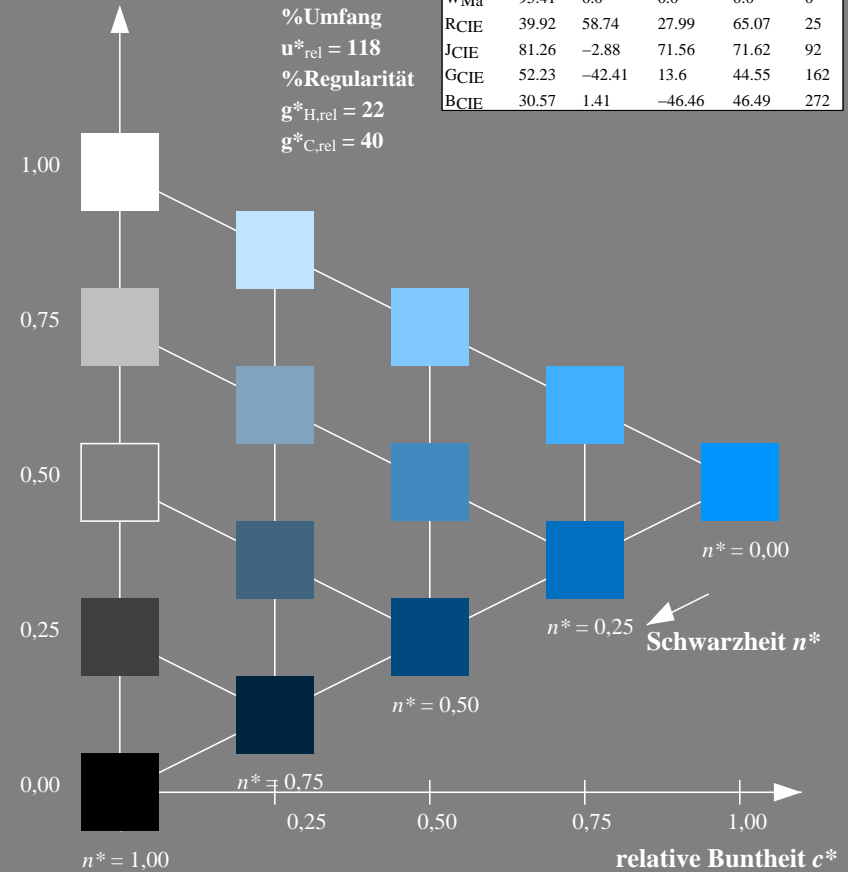
D65: Buntton B
LCH*Ma: 65 49 273
olv*Ma: 0.0 0.57 1.0



%Umfang
 $u^*_{\text{rel}} = 118$
%Regularität
 $g^*_{\text{H,rel}} = 22$
 $g^*_{\text{C,rel}} = 40$

TLS18; adaptierte CIELAB-Daten					
	$L^* = L^*_a$	a^*_a	b^*_a	$C^*_{ab,a}$	$h^*_{ab,a}$
OMa	52.76	71.63	49.88	87.29	35
YMa	92.74	-20.02	84.97	87.3	103
LMa	84.0	-78.98	73.94	108.2	137
CMa	87.14	-44.41	-13.11	46.32	196
VMa	35.47	64.92	-95.06	115.12	304
MMa	59.01	89.33	-55.67	105.26	328
NMa	18.01	0.0	0.0	0.0	0
WMa	95.41	0.0	0.0	0.0	0
RCIE	39.92	58.74	27.99	65.07	25
JCIE	81.26	-2.88	71.56	71.62	92
GCIE	52.23	-42.41	13.6	44.55	162
BCIE	30.57	1.41	-46.46	46.49	272

Dreiecks-Helligkeit t^*

VG660-7, 3stufige Reihen für konstanten CIELAB Buntton $273/360 = 0.76$ (links)5stufige Reihen für konstanten CIELAB Buntton $273/360 = 0.76$ (rechts)

BAM-Prüfvorlage VG66; Farbmatrik-Systeme CNS18 & TLS18 input: *olv* setrgbcolor*

D65: 3 und 5stufige Farbreihen für 10 Bunttöne

output: *no change compared to input*